



การศึกษาการทำความเย็นด้วยคลื่นเสียง STUDY OF SOUND WAVE COOLING

สุรเชย กรรพย์พิม¹, วรบุษ แห่งล้วง², บพพล มั่งเมือง³

¹ หลักสูตรการจัดการเทคโนโลยี มหาวิทยาลัยราชภัฏพระนคร

² คณะเทคโนโลยีอุตสาหกรรม มหาวิทยาลัยราชภัฏเพรบบูร์

³ คณะเทคโนโลยีอุตสาหกรรม มหาวิทยาลัยราชภัฏพระนคร

บทคัดย่อ

งานวิจัยเชิงการทดลองนี้มีวัตถุประสงค์เพื่อศึกษาหลักการทำความเย็นแบบเทอร์โมอะคูสติก โดยอาศัยแรงดันอากาศแบบคลื่นเสียงทำให้เกิดการสั่นพองในหลอดเสียงแบบคลื่นนิ่ง ปรากฏการณ์เทอร์โมอะคูสติกเกิดขึ้นเมื่อเกิดการสั่นพองในท่อเสียง ทำให้เกิดการถ่ายเทความร้อนอย่างต่อเนื่องระหว่างปลายทั้งสองข้างของรีเจนเนอเรเตอร์ ชุดทดลองที่สร้างขึ้นประกอบไปด้วย แหล่งกำเนิดคลื่นเสียง ท่อเสียง รีเจนเนอเรเตอร์ อุปกรณ์แลกเปลี่ยนความร้อนและสารตัวกลางในท่อเสียง คือ อากาศ ผลจากการศึกษาพบว่า ความถี่ของคลื่นเสียงรูปปีชีนที่ป้อนให้กับแหล่งกำเนิดเสียง (ลำโพง) ขนาด 145 เฮิรตซ์ มีกำลัง 6.25 วัตต์ สามารถสร้างสภาพคลื่นนิ่งภายในท่อเสียงของชุดทดลองได้ และมีอุณหภูมิแตกต่างระหว่างด้านร้อนกับด้านเย็นถึง 4 องศาเซลเซียส ที่สภาวะการเกิดคลื่นนิ่งวัดความดันอากาศภายใน Compliance volume (P_H) และภายนอก Compliance volume (P_1) พบร่วมอัตราส่วน P_H/P_1 มีขนาดเพิ่มสูงขึ้นประมาณ 3 เท่า และความดันอากาศมีเฟสต่างกันประมาณ 90 องศา

คำสำคัญ: เทอร์โมอะคูสติก, ตู้เย็น, คลื่นเสียง

Abstract

This study focused on the experiment of thermoacoustic refrigerator that used a sound pressure wave to produce the air oscillating as a standing wave in resonator tube. A thermoacoustic phenomenon appears when there is fluid oscillating as a standing wave. This oscillation results continuous heat transfer between two end of the regenerator. A thermoacoustic demonstration device constructed in this study consists of acoustic driver, resonator tube, regenerator and heat exchangers. The experimental results showed that the frequency of 145 Hz and 6.25 W of power can produce a standing wave in the resonator tube, and the temperature difference between the hot side and cold side was 4 °C. On stage of the standing wave, the amplitude of pressure wave inside of the compliance volume (P_H) is greater than the pressure outside (P_1) of the resonator about 3 times. The phase of the pressure inside the compliance volume lags the phase of the pressure outside by 90° at resonance.

Keywords: Thermoacoustic, Refrigerator, Sound wave

บทนำ

คลื่นเสียงเป็นคลื่นตามยาวรูปแบบหนึ่ง ซึ่งหูของคนเราสามารถได้ยินเสียงได้ โดยคลื่นนี้มีความถี่ตั้งแต่ประมาณ 20-20,000 เฮิรตซ์ เมื่อแหล่งกำเนิดคลื่นเสียงเกิดการสั่นสะเทือนจะเกิดการบีบอัด-ขยายของสารตัวกลาง เช่น อากาศในบริเวณรอบๆ แหล่งกำเนิดคลื่นเสียงและเคลื่อนที่ออกไปโดยรอบ ในลักษณะรูปคลื่น ในขณะที่คลื่นเสียงแพร่กระจายไปในสารตัวกลางจะมีการเปลี่ยนแปลงความดัน อุณหภูมิและความหนาแน่นของสารตัวกลางเกิดขึ้น ร่วมด้วยเสมอ ในชีวิตประจำวันเรามีความสามารถรู้สึกถึงการเปลี่ยนแปลงนี้ได้ง่ายนัก เพราะว่าผลของมันเกิดขึ้นอย่างมากจนเราสังเกตไม่ได้ ปรากฏการณ์ที่คลื่นเสียงทำให้เกิดการเปลี่ยนแปลงของอุณหภูมิ หรือกล่าวได้อีกอย่างหนึ่งว่าการเปลี่ยนแปลงพลังงานเสียงให้เป็นพลังงานความร้อน จะเรียกว่าปรากฏการณ์เทอร์โมอะคูสติก (Thermoacoustic effects) การยกระดับการเปลี่ยนแปลงอุณหภูมิให้มีขนาดสูงขึ้นจะสามารถนำปรากฏการณ์ดังกล่าวไปสร้างเครื่องยนต์ความร้อน/ทำความเย็น (Prime movers / Refrigerator) ได้โดยเครื่องยนต์ความร้อน หมายถึง เครื่องต้นกำลังที่ใช้ความร้อนสร้างคลื่นเสียง และเครื่องทำความเย็นหมายถึงเครื่องที่ใช้คลื่นเสียงมาสร้างความเย็น

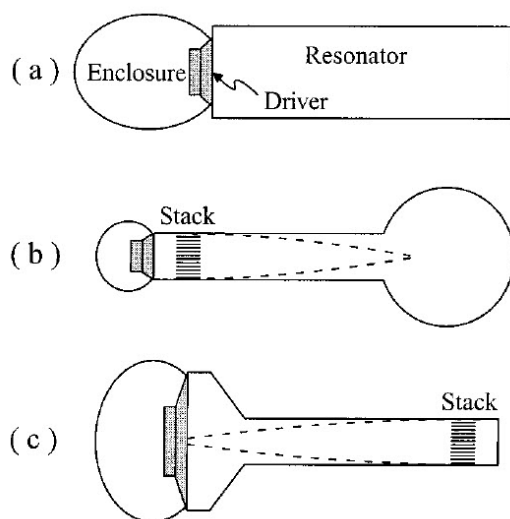
ในช่วงเวลา 25 ปี ที่ผ่านมาเริ่มมีการออกแบบอุปกรณ์ทำความเย็นแบบเทอร์โมอะคูสติกมากขึ้นหลังจาก Rott สามารถสร้างสมการ ความสัมพันธ์ระหว่างพลังงานความร้อนและพลังงานเสียงได้ [1] ทำให้การวิเคราะห์และออกแบบอุปกรณ์ต่างๆ ง่ายขึ้น เช่น สเตกกรีเจนเนอเรเตอร์ ท่อเสียง อุปกรณ์แลกเปลี่ยนความร้อน เป็นต้น การพัฒนาเครื่องทำความเย็นโดยใช้คลื่นเสียงแบ่งเป็น 2 แนวทาง คือ 1) การใช้คลื่นนิ่ง (Standing wave) พบรูปในงานวิจัยของ [2-4] และ 2) การใช้คลื่นเดินทาง (Traveling wave) พบรูปในงานวิจัยของ [5,6] สิ่งที่น่าสนใจของการทำความเย็นแบบนี้คือการไม่ต้องใช้สารทำความเย็นที่มีผลกระทบต่อสิ่งแวดล้อมอย่างเช่นระบบอัดไออกซิเจน (Vapor compression) อย่างไรก็ตามการพัฒนาระบบททำความเย็นแบบนี้ยังอยู่ในช่วงเริ่มต้นและประสิทธิภาพของระบบ

ยังต่ำกว่าระบบที่ใช้ในปัจจุบันมาก

การศึกษาระบบทำความเย็นแบบเทอร์โมอะคูสติกนี้ปัจจุบัน ส่วนใหญ่มีแนวคิดในการพัฒนาแบบใช้สแตกเป็นตัวสูบความร้อนโดยมีองค์ประกอบคือ แหล่งกำเนิดคลื่นเสียง ท่อเสียง สเตก เป็นหลัก โดยจะบรรจุอยู่ภายในพื้นที่ปิดทึบหมด แหล่งกำเนิดคลื่นเสียงจะถูกวางไว้ปลายด้านหนึ่งของท่อเสียงและให้ปลายท่อเสียงอีกด้านหนึ่งปิดไว้รูปแบบนี้จะใช้แนวคิดแบบคลื่นนิ่งทำให้เกิดการสั่นพ้อง (Resonance) ของอากาศภายในท่อเสียง บอยครั้งอากาศภายในใช้การอัดก๊าซอีเลี่ยมหรืออาร์กอนที่มีความดันสูงกว่าความดันบรรยายกาศแทน โดยจะต้องให้ความดันของก๊าซทึ้งหน้าและหลังแหล่งกำเนิดคลื่นเสียงเท่ากัน ความถี่การสั่นของแหล่งกำเนิดเสียง เพื่อให้เกิดการสั่นพ้องคำนวนได้จาก $f = v/\lambda$ เมื่อ v คือความเร็วการเดินทางของคลื่นเสียงในสารตัวกลาง และ λ คือความยาวคลื่นเสียง ทึ้งนี้ท่อเสียงจะมีความยาวได้สั้นที่สุดเท่ากับ $\lambda/4$ เมื่อสเตกจะต้องวางในตำแหน่งที่มีแรงดันอากาศสูงสุดคือบริเวณ Pressure antinode (ภาพที่ 1) แนะนำแสดงขนาดแรงดันอากาศที่เกิดจากคลื่นเสียงภายในท่อเสียงภายในภาพที่ 1 (b) Pressure antinode อยู่บริเวณใกล้กับแหล่งกำเนิดเสียง และภาพที่ 1 (c) Pressure antinode จะอยู่บริเวณปลายท่อด้านปิด เมื่อเกิดการสั่นพ้องขึ้นในท่อเสียงบริเวณปลายสแตกทึ้งสองด้านจะมีอุณหภูมิแตกต่างกัน ด้านหนึ่งจะมีอุณหภูมิสูงขึ้นและอีกด้านหนึ่งจะมีอุณหภูมิต่ำลง ความแตกต่างของอุณหภูมิที่เกิดขึ้นจึงสามารถนำไปใช้ในการพัฒนาระบบททำความเย็นได้

วัตถุประสงค์ของการวิจัย

เพื่อศึกษาปรากฏการณ์เทอร์โมอะคูสติกในท่อเสียงสำหรับการทำความเย็น



ภาพที่ 1 ตำแหน่ง Pressure antinode ภายในท่อเสียงเพื่อเกิดสภาวะสั่นพ้อง [7]

ที่มา: Wakeland, R.S. (2000). Use of electrodynamic drivers in thermoacoustic refrigerators. *J.Acoust. Soc. Am.* 107(2), 827-832.

อุปกรณ์และวิธีดำเนินการวิจัย

ชุดทดลองที่ออกแบบและสร้างขึ้น ยึดหลักการของการเกิดสภาวะคลื่นนิ่งภายใน ท่อเสียงเพื่อนำแรงดันอากาศที่สูงไปทำให้เกิดการสั่นพ้องภายในโพรงอากาศ (Compliance volume)

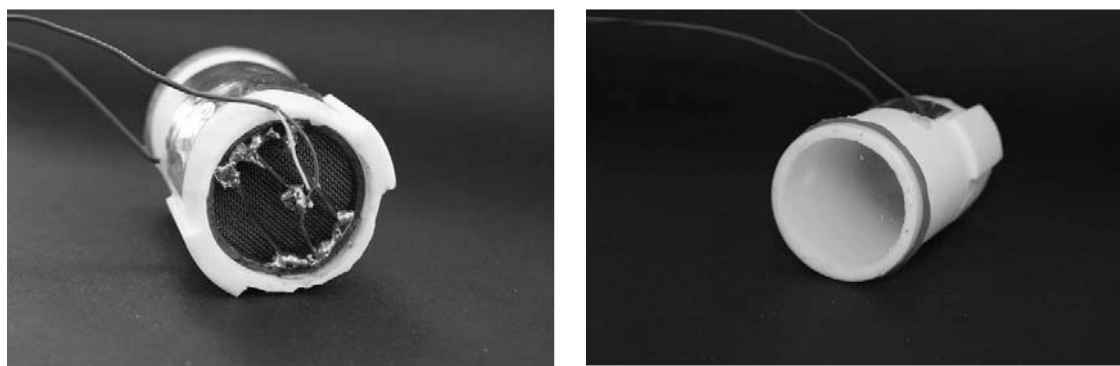
อีกครั้งหนึ่งตามหลักการของ Helmholtz โดยมีวัตถุประสงค์เพื่อต้องการทำให้เกิดขนาดแรงดันอากาศ สูงกว่าสภาวะคลื่นนิ่งธรรมชาติ ทั้งนี้การหด-ขยาย ตัวของสารตัวกลางที่สภาวะแรงดันอากาศสูงมีผลต่อการเปลี่ยนแปลงอุณหภูมิสูงตามไปด้วย ความถี่ที่ทำให้เกิดการสั่นพ้องใน compliance volume คำนวนได้จาก $f_H = \frac{1}{2\pi} \sqrt{1/LC}$ เมื่อ L คือ Inertance , C คือ Compliance และองค์ประกอบหลักของระบบ การทำความเย็นแบบเทอร์โมอะด์สติกจะประกอบด้วยแหล่งกำเนิดคลื่น (Driver) สารตัวกลางในระบบ (Working fluid) อุปกรณ์แลกเปลี่ยนความร้อน (Heat exchanger) สเตกหรือรีเจนเนอเรเตอร์ (Stack / Regenerator) และท่อเสียง (Resonator tube)

1. แหล่งกำเนิดคลื่นเสียง การสร้างคลื่นเสียง ในระบบของชุดทดลองเลือกใช้ลำโพงขนาด 5.25 นิ้ว มีกำลังขับ 120 วัตต์ และความต้านทาน 4 โอห์ม เป็นผลิตภัณฑ์ของ Priority ประเทศไทย รุ่น Pro-5522M ต่อเข้ากับเครื่องขยายสัญญาณเสียง (Amplifier) ขนาด 90 วัตต์ เป็นผลิตภัณฑ์ของ TOA

รุ่น A-1061 ป้อนสัญญาณคลื่นไซน์ (Sine wave) โดยใช้เครื่อง Function generator ของ Insteek รุ่น GFG-8020H ปรับความถี่ได้ในช่วง 20 – 20,000 เฮิรตซ์ และติดตั้งลำโพงเข้ากับปลายด้านหนึ่งของ ท่อเสียงที่มีความยาว 25 ซม.

2. ท่อเสียงใช้ท่ออะคิลิกใส ขนาด 50 มม. หนา 3 มม. ยาว 250 มม. ต่อเข้ากับข้อลด ขนาด 125×50 มม. โดยใช้การประสานได้ความยาวของ ท่อเสียงจากตำแหน่งติดตั้งลำโพงถึงปลายท่อรวม 410 มม. ภายในท่อระบุด้วยอากาศทำหน้าที่เป็น สารตัวกลาง

3. อุปกรณ์แลกเปลี่ยนความร้อน ใช้ห่อทองแดงขนาดเส้นผ่านศูนย์กลาง 3 ซม. หนา 1.5 มม. ตัดเป็นวงแหวนหนา 5 มม. ภายในใช้แผ่น ทองแดง หนา 0.60 มม. กว้าง 5 มม. จำนวน 3 แผ่นบัดกรี ติดกับวงแหวนให้ทำหน้าที่เป็นอุปกรณ์แลกเปลี่ยน ความร้อน โดยนำไปติดตั้งไว้ด้านหน้าและด้านหลัง ของรีเจนเนอเรเตอร์ในท่อเสียง อุปกรณ์แลกเปลี่ยน ความร้อนนี้จะทำหน้าที่ดูดซับความร้อนจากอากาศ ที่เกิดการอัดและขยายตัวภายในรีเจนเนอเรเตอร์ นำสายเทอร์โมคัพเปิล (Thermocouple) Type K บัดกรีติดกับชุดอุปกรณ์แลกเปลี่ยนความร้อนเพื่อบันทึกค่าอุณหภูมิ

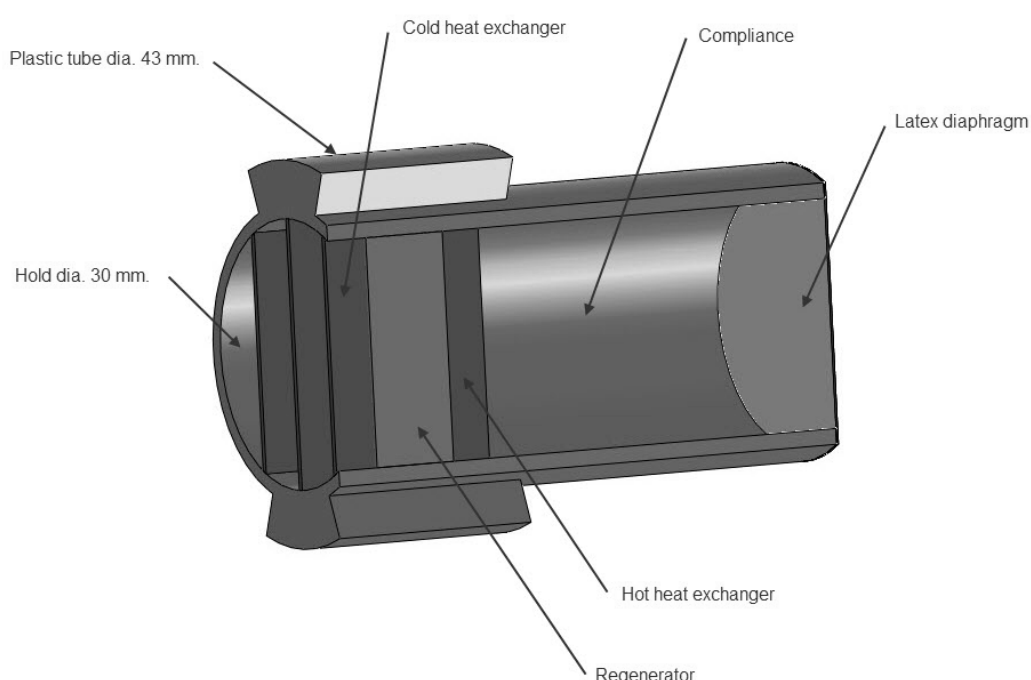


ภาพที่ 2 อุปกรณ์แลกเปลี่ยนความร้อนติดตั้งด้านหน้ารีเจนเนอเรเตอร์และแผ่นลาเท็กซ์ไดอะแฟร์ม ทำหน้าที่แทน Inertance (L)

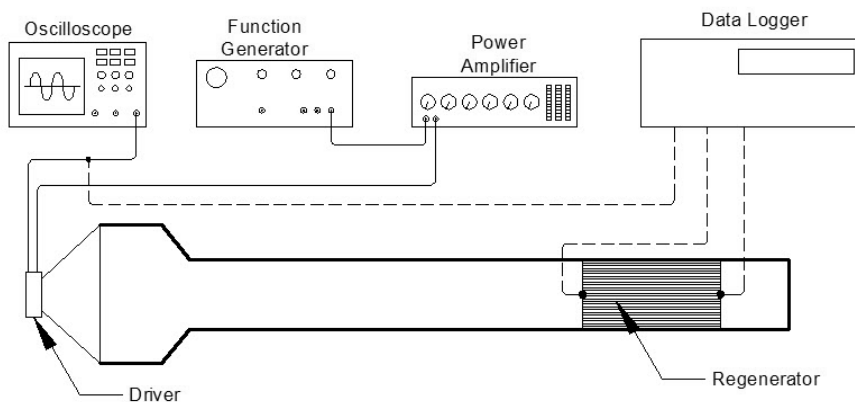
4. รีเจนเนอเรเตอร์ เป็นวัสดุพรุน ทำหน้าที่ลดขนาดก้อนมวลอากาศให้เล็กลง และบังคับทิศทางการไหลของก้อนมวลอากาศนั้นๆ ขนาดของรูพรุนจะถูกกำหนดโดยรัศมีชลศาสตร์ (Y_h) ซึ่งเป็นอัตราส่วนระหว่างปริมาตรของอากาศต่อพื้นที่ผิวของรูพรุน

ในการสร้างชุดทดลองนี้ เลือกใช้รีเจนเนอเรเตอร์เป็นตัวลดขนาดก้อนมวลอากาศทั้งนี้เนื่องจากมีประสิทธิภาพสูงกว่าแบบสแตกโดยสร้าง

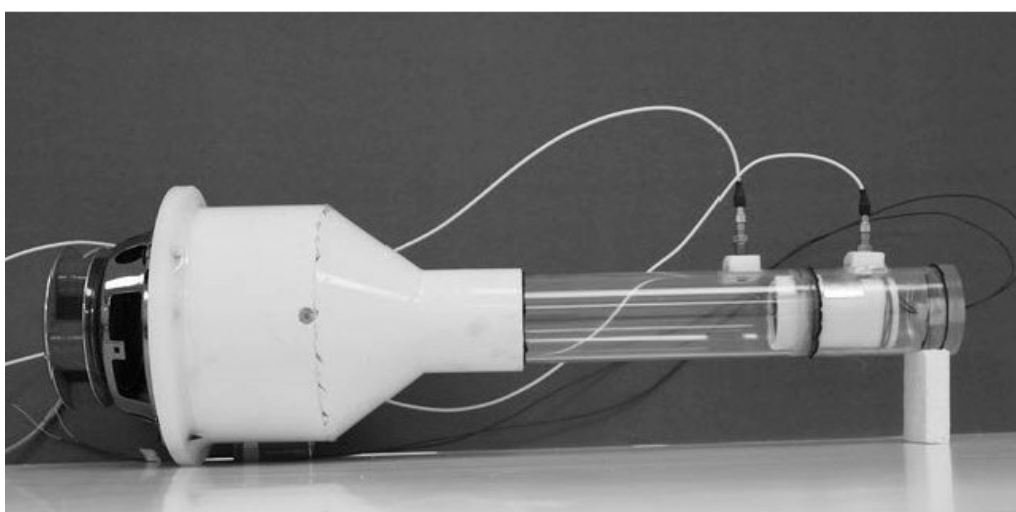
จากแท่งพลาสติกกลึงให้มีขนาดดังภาพที่ 3 ภายในบรรจุแผ่นตาข่ายสแตนเลสขนาด 40 เส้นต่อนิ้ว มีขนาดเส้นผ่านศูนย์กลาง 30 มม. วางเรียงชั้อนกัน 26 ชั้น โดยมีความหนาประมาณ 10 มม. วางต่อจากวงแหวนทองแดง และปลายด้านที่ติดตั้งแผ่นลาเท็กซ์ไดอะแฟร์มวางห่างจากปลายด้านปิดของท่อเสียง 15 มม. และต่อไปจะเรียกชุดอุปกรณ์รวมนี้ว่า Resonator



ภาพที่ 3 รูปตัดแสดงการประกอบอุปกรณ์แลกเปลี่ยนความร้อน รีเจนเนอเรเตอร์ และแผ่นลาเท็กซ์ไดอะแฟร์ม



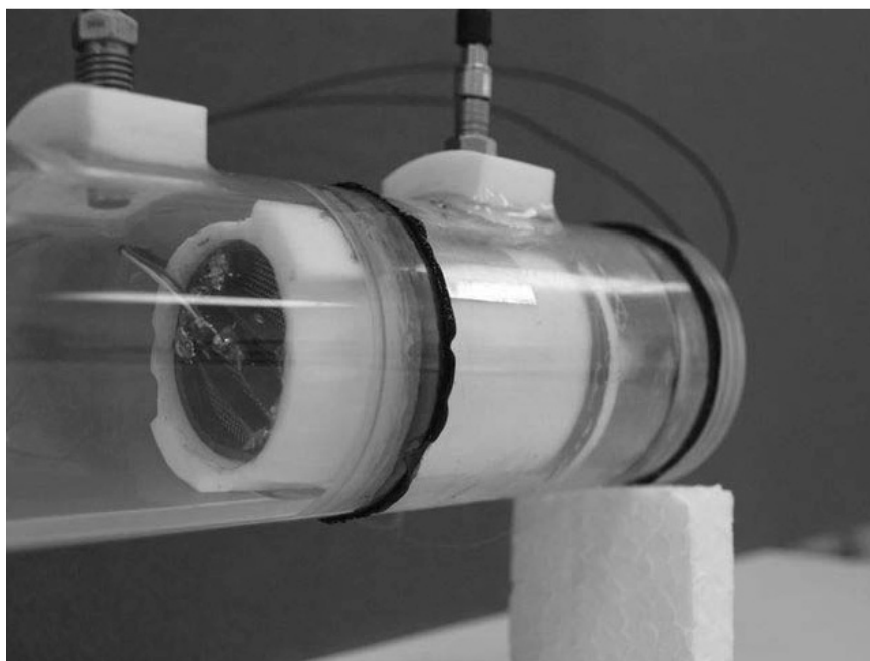
ภาพที่ 4 ผังการต่อเชื่อมระบบและอุปกรณ์การบันทึกข้อมูล



ภาพที่ 5 ชุดทดลองที่สร้างขึ้นเพื่อศึกษาปรากฏการณ์เทอร์โมอะคูสติก

5. เช่นเซอร์บันทึกข้อมูล การวัดอุณหภูมิของอุปกรณ์แลกเปลี่ยนความร้อนใช้สายเทอร์โมคัพเปิล Type K วัดอุณหภูมิ 2 จุด และการศึกษาแรงดันอากาศภายในท่อเสียงที่เกิดจากการสั่นของกรวยลำโพงใช้เซ็นเซอร์ตรวจวัดความดันแบบไดนามิก (Dynamic pressure sensor) เป็นผลิตภัณฑ์ของ Omega รุ่น DPX101-250 เบอร์ 3697 และ

3699 วัดความดันอากาศก่อนไฟลเข้ารีเจนเนօเรเตอร์และภายใน Compliance volume และดงในภาพที่ 5 อุปกรณ์เซ็นเซอร์วัดแรงดันอากาศทั้งหมดต่อเข้ากับการ์ดอ่านและบันทึกข้อมูลของ National Instruments รุ่น NI 9215 และสายเทอร์โมคัพเปิลต่อเข้ากับรุ่น NI 9211 โดยอ่านข้อมูลผ่านโปรแกรม LabVIEW 8.5



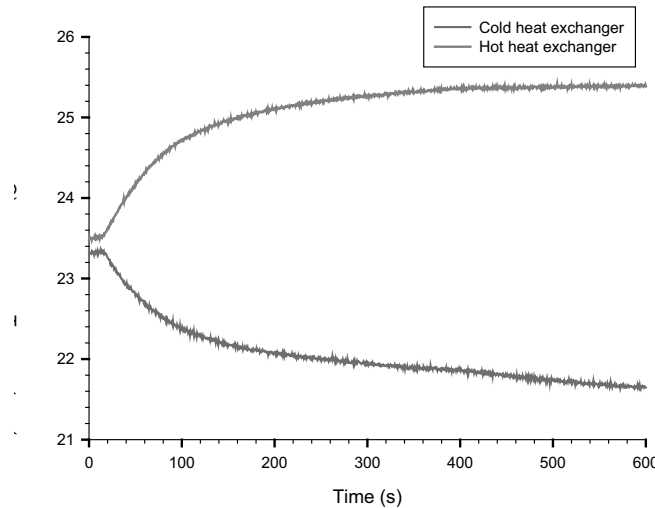
ภาพที่ 6 การติดตั้ง Resonator และอุปกรณ์เซนเซอร์

ผลการวิจัย

1. การศึกษาความถี่คลื่นเสียง

ชุดทดลองสำหรับการศึกษานี้สร้างตามแนวคิดในภาพที่ 1 (c) อาจกาศภายใต้ท่อเสียงมีความดันเท่ากับความดันบรรยายกาศ ดังนั้นบริเวณด้านหลังของลำโพงจึงไม่จำเป็นต้องครอบปิดไว้ เพราะว่า ปริมาตรอากาศภายในออกเบรี่ยงสม่ือน Compliance ขนาดใหญ่ ตำแหน่งการวาง Resonator อยู่ใกล้ปลายท่อด้านปิดซึ่งเป็นจุดที่มีแรงดันอากาศสูงสุด ตามทฤษฎีแล้วความถี่ที่ทำให้เกิดการสั่นพ้องแบบคลื่นนิ่ง โดยใช้ท่อเสียงยาว 41 ซม. และใช้อากาศคือ $f = 209.75$ เอิรตซ์ แต่เนื่องด้วยการประกอบอุปกรณ์เช่น ลำโพงมีขนาดใหญ่กว่าท่อเสียงจึงไม่สามารถติดตั้งโดยตรงได้ ผู้วิจัยได้ใช้ข้อต่อลดขนาดเป็นตัวเชื่อมต่อ ดังนั้นท่อเสียงจึงไม่สอดคล้องในทางทฤษฎี

มากนัก ความถี่คลื่นเสียงที่คำนวณได้เพื่อสร้างคลื่นนิ่งในท่อเสียงจึงไม่สามารถใช้ได้โดยตรง ดังนั้นในที่นี้จะใช้วิธีปรับความถี่แทนแล้วศึกษาความแตกต่างของอุณหภูมิที่อุปกรณ์แลกเปลี่ยนความร้อนโดยเริ่มต้นใช้สัญญาณรูปชายน์ขนาด 5 โวลท์ (ค่าระดับแรงดัน 5 โวลท์ เป็นค่า RMS วัดที่เอาต์พุตของเครื่องขยายสัญญาณ) ดังนั้นกำลังไฟฟ้าที่ป้อนให้กับลำโพงมีค่าเท่ากับ $E = 5 \times 5/4 = 6.25$ วัตต์ ใช้ความถี่เริ่มต้นที่ 50-300 เอิรตซ์ จากการศึกษาพบว่าความถี่ที่ป้อนให้กับลำโพงขนาด 145 เอิรตซ์ สามารถทำให้อุณหภูมิของอุปกรณ์แลกเปลี่ยนความร้อนหั้งสองแตกต่างมากที่สุดประมาณ 4 องศาเซลเซียส เมื่อเวลาผ่านไปประมาณ 10 นาที จึงสามารถสรุปได้ว่าความถี่ขนาด 145 เอิรตซ์ สามารถทำให้เกิดคลื่นนิ่งในชุดทดลองนี้ได้

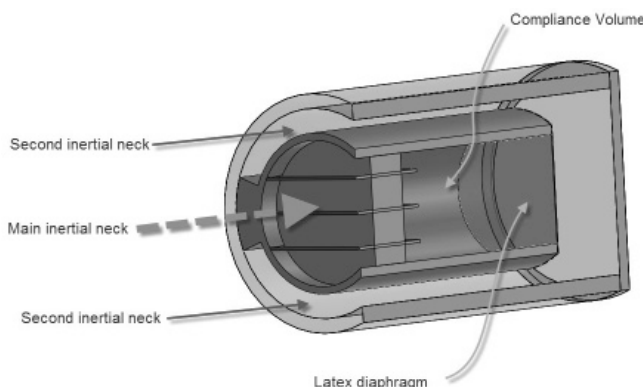


ภาพที่ 7 แสดงอุณหภูมิของอุปกรณ์แลกเปลี่ยนความร้อนเมื่อใช้ความถี่คลื่นเสียงเท่ากับ 145 เอิรตซ์

2. การศึกษาขนาดแรงดันและเฟสของคลื่นเสียง

จากหลักทฤษฎีของ Helmholtz ความถี่สั่นพ้องที่เกิดขึ้นภายใน Compliance volume ของ Resonator มีปัจจัยหลักมาจากการปริมาตรของ Compliance (C) และขนาดของ Inertance (L) Resonator ที่ได้ออกแบบไว้มีช่องให้อากาศไหลผ่านเข้าไปใน Compliance volume ได้ 2 ช่องทางหลัก คือ ช่องแรกให้ลมผ่านอุปกรณ์แลกเปลี่ยนความร้อน ตะแกรงลวดสแตนเลสแล้วไหลเข้าไปใน Compliance volume ช่องที่สองให้ลมผ่านด้านข้างของ

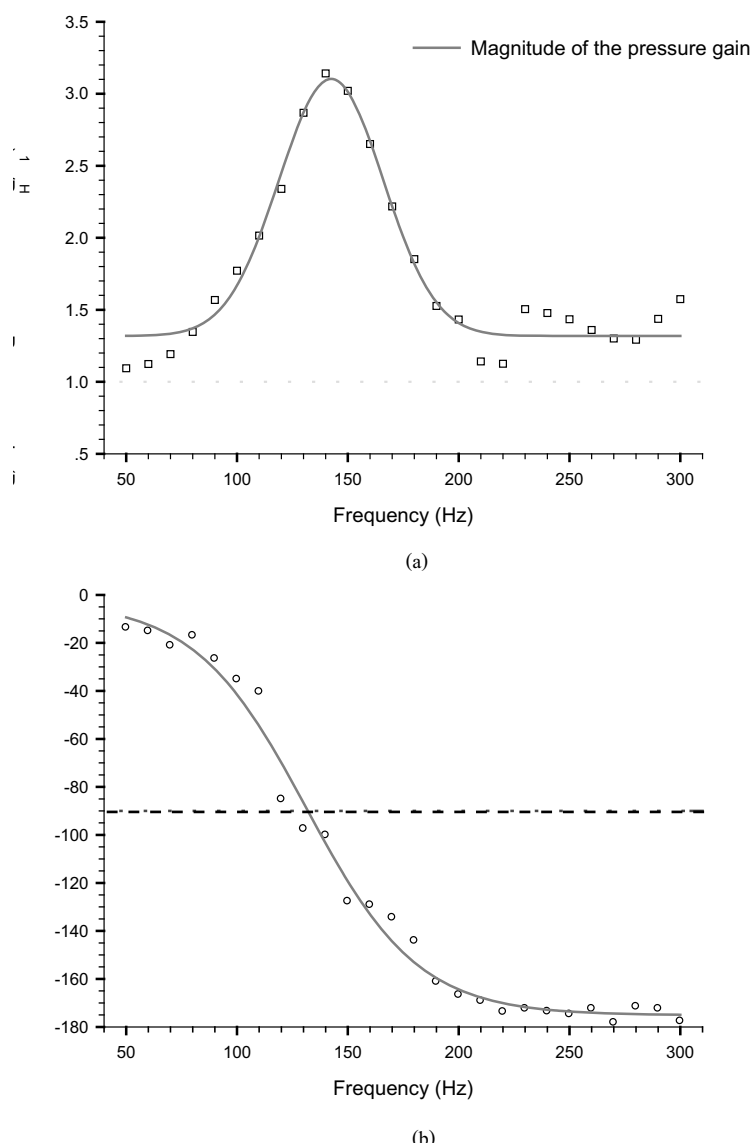
Resonator ซึ่งมี 2 ช่องย่อย จากนั้นไหลไปเจอกับแผ่นลาเท็กซ์โดยแฟร์ม ซึ่งทำหน้าที่เป็น Inertance อีกด้วยและช่วยลด-ขยายปริมาตรของ Compliance เพื่อให้เกิดการสั่นพ้องได้ง่ายขึ้น แสดงในภาพที่ 8 (หากแผ่นลาเท็กซ์โดยแฟร์มมีค่าอิมพีเดนซ์สูง ความถี่สั่นพ้องที่เกิดขึ้นนี้จะสามารถเรียกว่าเป็นความถี่ Helmholtz) และแม้ว่าความถี่สั่นพ้องที่เกิดขึ้นในชุดทดลองนี้จะไม่ใช่ความถี่ Helmholtz ที่แท้จริง แต่ก็เป็นความถี่สั่นพ้องแบบคลื่นนิ่งของชุดทดลองนั้นเอง



ภาพที่ 8 รูปตัดแบบจำลอง Resonator ที่วางในตำแหน่ง Pressure antinode ในหลอดเสียง

ในการณ์มีช่องของ Inertance เพียงช่องเดียวความถี่ที่ใช้ขับเหล็กกำเนิดเสียงจะเกลี้ยงกับความถี่สั่นพ้องใน Compliance volume, f_H [3] จากการศึกษาและวัดขนาดแรงดันอากาศภายใน Compliance volume (P_H) และภายนอก Compliance volume (P_1) พบว่า P_H/P_1 มีขนาดสูงขึ้นที่ความถี่ประมาณ 142-145 เฮิรตซ์ แสดงในภาพที่ 9 (a) สอดคล้องกับความถี่ที่ทำให้อุณหภูมิแตกต่างกันมากที่สุดและความถี่ของแรงดันอากาศ P_1 มีเฟสเท่ากับความถี่ที่ใช้ขับเหล็กกำเนิดเสียง

ในขณะที่เฟสระหว่างแรงดันอากาศใน Compliance volume เปรียบเทียบกับแรงดันไฟฟ้าที่ป้อนให้กับลำโพงมีเฟสต่างกันประมาณ 90 องศา ที่ความถี่ในช่วงเดียวกันแสดงในภาพที่ 9 (b) อาจกล่าวอีกนัยได้ว่าความถี่รูปคลื่นแรงดันไฟฟ้าที่ป้อนให้กับลำโพงแล้วทำให้รายละเอียดของรูปคลื่นแรงดันอากาศ (Volume velocity) ในหลอดเสียงนั้นเอง



ภาพที่ 9 (a) ขนาดแรงดันอากาศ P_H/P_1 ที่เกิดขึ้นใน resonator ที่ความถี่ต่างๆ กัน (b) เฟสระหว่างแรงดันอากาศใน Compliance volume เปรียบเทียบกับแรงดันไฟฟ้าที่ป้อนให้กับเหล็กกำเนิดเสียงแสดงในรูปความถี่

สภาวะที่เกิดคลื่นนิ่งในหลอดเสียง แรงดันอากาศบริเวณปลายด้านปิดจะสูงกว่าบริเวณด้านที่ติดกับแหล่งกำเนิดคลื่นเสียง จากการวัดแอมเพลจูด แรงดันอากาศใน Compliance volume (P_H) เปรียบเทียบกับภายนอก Compliance volume (P_1) ด้วยเซนเซอร์ตรวจความดันแบบไดนามิก พบว่า ณ ตำแหน่งที่เวลาเดียวกัน $P_H > P_1$ เมื่อ แต่อย่างไรก็ตามความถี่คลื่นเสียง 145 เอิร์ตซ์ ที่ทำให้เกิดคลื่นนิ่งในหลอดเสียงยังคงไม่ทำให้เกิดการสั่นพ้องใน Compliance volume จากการประเมินเปรียบเทียบความถี่สั่นพ้อง Helmholtz ที่จะเกิดขึ้นใน Resonator ของชุดทดลองได้ $f_H \approx 630$ เอิร์ตซ์ ทั้งนี้การเกิดปรากฏการณ์เทอร์โมอะคูสติก ในชุดทดลองมีผลมาจากการเกิดสภาวะคลื่นนิ่งเท่านั้น

สรุปและอภิปรายผล

ผลการทดลองแสดงให้เห็นว่าความสามารถนำพลังงานเสียงมาสร้างการความแตกต่างของ

อุณหภูมิบริเวณปลายรีเจนเนอเรเตอร์ทั้งสองด้านได้เมื่อคลื่นเสียงเกิดการสั่นพ้อง การถ่ายเทความร้อนจะเกิดขึ้นต่อเนื่องตลอดเวลา ผลแตกต่างของอุณหภูมิระหว่างด้านร้อนกับด้านเย็นที่ได้จากการทดลองประมาณ 4 องศาเซลเซียล ที่ความถี่คลื่นเสียง 145 Hz ในขณะเดียวกันเพื่อระห่วงแรงดันอากาศใน Compliance volume เปรียบเทียบกับแรงดันอากาศภายนอกมีเฟสต่างกันประมาณ 90 องศาในการนำไปประยุกต์ใช้สร้างเครื่องทำความเย็น จำเป็นต้องทำให้เกิดความแตกต่างของอุณหภูมิมากๆ โดยเฉพาะด้านเย็นอาจจำเป็นต้องมีอุณหภูมิต่ำกว่าคุณย์องศาส泽เซียล การศึกษาเพื่อเพิ่มประสิทธิภาพการทำความเย็นต่อไปในอนาคตจะต้องออกแบบโดยใช้สารตัวกลางที่มีคุณสมบัติในด้านการถ่ายเทความร้อนที่ดีไม่มีมลพิษต่อสิ่งแวดล้อม เช่น ก๊าซในตระกูลก๊าซเชื้อโยและให้สารตัวกลางมีความดันสูงขึ้น ตลอดจนมีอุปกรณ์แลกเปลี่ยนความร้อนที่ดี

เอกสารอ้างอิง

- [1] Rott, N. (1980). Thermoacoustic. *Advances in Theoretical and Applied Mechanics*, 20, 135-175.
- [2] Garrett, S. L., Adeff, J. A. and Hofler, T. J. (1993). Thermoacoustic Refrigerator for Space Applications. *Journal of Thermophysics and Heat Transfer*, 7(4), 595-599.
- [3] Poese, M. E. and Garrett, S. L. (2000). Performance Measurements on a Thermoacoustic Refrigerator at High Amplitudes. *The Journal of the Acoustical Society of America*, 107(5), 2480-2486.
- [4] Wheatley, J. C., Swift, G. W., Migliori, A. and Hofler, T. J. (1998). Acoustic Cooling Engine. US Patent No. 4,858,441.
- [5] Swift, G. W., Gardner, D. L. and Backhaus, S. (1999). Acoustic Recovery of Lost Power in Pulse Tube Refrigerators. *The Journal of the Acoustical Society of America*, 105(2), 711-724.
- [6] Gardner, D. L. and Swift, G. W. (1997). Use of Inertance in Orifice Pulse Tube Refrigerators. *Cryogenics*, 37(2), 117-121.
- [7] Wakeland, R. S. (2000). Use of Electrodynamic Drivers in Thermoacoustic Refrigerators. *The Journal of the Acoustical Society of America*, 107(2), 827-832.